



Morfología polínica de las especies de *Caiophora* (Loasaceae) en Argentina

Pollen morphology of *Caiophora* species (Loasaceae) in Argentina

Reyes, Nora J. F.^{1,2} ; María L. Espeche¹ ; Alberto C. Slanis^{1,3} ; María E. García¹

¹ Instituto de Taxonomía Fanerogámica y Palinología, Área Botánica, Fundación Miguel Lillo, Miguel Lillo 251, (T4000JFE) San Miguel de Tucumán, Argentina.

² Consejo Nacional de Investigaciones Científicas y Tecnológica (CONICET).

³ Cátedra de Biología Vegetal, Facultad de Ciencias Naturales e Instituto Miguel Lillo (UNT), Miguel Lillo 205, (T4000JFE) San Miguel de Tucumán, Argentina.

* Autor corresponsal: <njreyes@lillo.org.ar>

RESUMEN

Se describe la morfología del polen de las 17 especies de *Caiophora* (Loasaceae) registradas para Argentina y se considera su posible valor taxonómico en la delimitación de estas entidades. Las observaciones y mediciones de granos de polen acetolizados y no acetolizados se llevaron a cabo bajo microscopía óptica (MO), mientras que para microscopía electrónica de barrido (MEB) se usaron granos no acetolizados. Los resultados demostraron que las especies analizadas presentan granos de polen prolatos a prolato-esferoidales, pequeños a medianos; exina reticulada con muros entrelazados en diferentes niveles con paredes lisas, microgranuladas o microperforadas. A nivel MEB se observan diferencias interespecíficas con respecto al grosor de las paredes y el diámetro de los lúmenes.

Palabras clave — Acetolizado; *Caiophora*; polen; tricolporado.

ABSTRACT

The pollen morphology of the 17 species of *Caiophora* (Loasaceae) recorded in Argentina is described and its possible taxonomic value in the delimitation of these entities is considered. Acetolyzed and non-acetolyzed pollen grains were observed and measured under light microscopy (LM), while non-acetolyzed grains were used for scanning electron microscopy (SEM). The analyzed species present small to

► Ref. bibliográfica: Reyes, N. J. F.; Espeche, M. L.; Slanis, A. C.; García, M. E. 2023. Morfología polínica de las especies de *Caiophora* (Loasaceae) en Argentina. *Lilloa* 60 (2): 317-334. doi: <https://doi.org/10.30550/j.lil/1845>

► Recibido: 4 de septiembre 2023 – Aceptado: 29 de noviembre 2023 – Publicado en línea: 7 de diciembre 2023.



► URL de la revista: <http://lilloa.lillo.org.ar>

► Esta obra está bajo una Licencia Creative Commons Atribución – No Comercial – Sin Obra Derivada 4.0 Internacional.

medium prolate to prolate-spheroidal pollen grains; reticulate exine with interlocking walls at different levels; walls are smooth, microgranulated or microperforated. Under SEM, interspecific differences are observed with respect to wall thickness and lumen diameter.

Keywords — Acetolyzed; *Caiophora*; pollen; tricolporate.

INTRODUCCIÓN

El género *Caiophora* C. Presl. (Loasaceae), de distribución casi exclusivamente andina, se encuentra representado en Argentina por 17 especies que crecen en una gran variedad de hábitats: *C. aconquiae* Sleumer, *C. boliviiana* Urb. & Gilg, *C. canarinoides* (Lenné & K. Koch) Urb. & Gilg., *C. cernua* (Griseb.) Urb. & Gilg ex Kurtz, *C. chiquitensis* (Meyen.) Urb. & Gilg, *C. clavata* Urb. & Gilg, *C. coronata* (Gillies ex Arn.) Hook. & Arn., *C. dumetorum* Urb. & Gilg, *C. hibiscifolia* (Griseb.) Urb. & Gilg, *C. lateritia* Klotzsch, *C. mollis* (Griseb.) Urb. & Gilg, *C. nivalis* Lillo, *C. pulchella* Urb. & Gilg, *C. rosulata* (Wedd.) Urb. & Gilg var. *taraxacoides* (Killip) Weigend & M. Ackermann, *C. sleumerii* Slanis, Perea & Grau, *C. spegazinii* Urb. & Gilg y *C. vallegrandensis* Slanis & Bulacio (Slanis et al. 2016, 2021; Slanis y Bulacio, 2022).

De las especies analizadas en este estudio, solamente ha sido descripta *C. coronata* (Markgraf y D'Antoni, 1978; Wingenroth y Heusser, 1984). Si existen estudios palinológicos de otros géneros de la familia Loasaceae. Noguera-Savelli et al. (2009) describieron el polen de algunas especies presentes en Venezuela. Avetisian (1975) analizó el polen de algunas especies de las subfamilias Loasoideae, Mentzelioideae y Gronovioideae de Armenia. Poston y Nowicke (1990, 1993) estudiaron la morfología polínica en las subfamilias Loasoideae y Gronovioideae. Quiroz-García et al. (1994), describieron los granos de polen de *Gronovia scandens* L. y *Mentzelia aspera* L. Por último, García de Albano y Slanis (2006) estudiaron el polen de las especies del género *Mentzelia* que crecen en Argentina.

El objetivo de este trabajo fue analizar la morfología polínica de las especies de *Caiophora* presentes en Argentina y evaluar posibles caracteres de valor diagnóstico. Los resultados del presente trabajo contribuirían al reconocimiento de estas especies como indicador de ambiente o en muestras de polen disperso (aerosoles, fósiles, suelos, mieles, etc.).

MATERIALES Y MÉTODOS

Se trabajó con material depositado en el Herbario LIL (Thiers, 2023), el cual fue procesado según las técnicas para polen natural (Wodehouse, 1935) y acetólisis (Erdtman, 1960). En este estudio se aplicaron ambas técnicas de procesamiento debido a que la relación P/E (longitud del eje polar/diámetro ecuatorial) de los granos pueden variar según el método utilizado. Las observaciones y mediciones se realizaron con microscopio óptico (MO) y con microscopio electrónico de barrido (MEB). Las microfotografías se tomaron con una cámara digital Cannon Power Shot A 620 de 7,1

megapixeles. Para realizar las observaciones con microscopio electrónico de barrido (MEB) los granos sin acetolizar fueron metalizados con un baño de oro y se utilizó el equipo Zeiss Supra 5VP del Centro Integral de Microscopía Electrónica (CIME), CONICET-UNT, Tucumán.

MATERIAL ESTUDIADO

Caiophora aconquiae Sleumer

ARGENTINA. Prov. Tucumán. Dpto. Tafí del Valle, Cascada de los Alisos, Valle de Tafí, 2500 m snm, 25-I-2013, *Grau s.n.* (LIL 613282); Ruta Prov. 325, El Rincón, 26° 57' 39,5" S 65° 46' 33,7" W, 2300 m snm, 7-III-2014, *Muruaga et al.* 4280 (LIL 616354).

Caiophora boliviiana Urb. & Gilg

ARGENTINA. Prov. Salta. Dpto. Santa Victoria, La Huerta, Camino a Santa Victoria, 2586 m snm, 18-III-2004, *Slanis et al.* 262 (LIL 607266); Santa Victoria, Quebrada de San Felipe, ca. 2400 m snm, 5-II-1953, *Sleumer* 3787 (LIL 401799).

Caiophora canarinoides (Lenné & K. Koch) Urb. & Gilg

ARGENTINA. Prov. Salta. Dpto. Santa Victoria, Camino de Nazareno a Poscaya, ca. 3100 m snm, 24-I-2010, *Slanis et al.* 3082 (LIL 611115).

Caiophora cernua (Griseb.) Urb. & Gilg ex Kurtz

ARGENTINA. Prov. Catamarca. Dpto. Andalgalá, Capillitas, 2850 m snm, 14-IV-2014, *Slanis & Perea* 2508 (LIL 614295); Cuesta a Capillitas, 2094 m snm, 22-I-2004, *Slanis et al.* 224 (LIL 607240).

Caiophora chuquitensis (Meyen) Urb. & Gilg

ARGENTINA. Prov. Jujuy. Dpto. Tilcara, Cuesta de Lipán, 23°41'38,5" S 65°38'52,7" O, 4149 m snm, 22-I-2010, *Slanis et al.* 3108 (LIL 611078). Prov. Tucumán. Dpto. Trancas, Camino a Lara, 26°22'04,5" S 65°39'29,0" W, 3074 m snm, 20-III-2014, *Slanis & Muruaga* 1060 (LIL 618598).

Caiophora clavata Urb. & Gilg

ARGENTINA. Prov. Tucumán. Dpto. Tafí del Valle, El Infiernillo, 3000 m snm, 24-III-2015, *Slanis & Grau* 6515 (LIL 614297); La Bolsa, 2578 m snm, 5-III-2004, *Slanis et al.* 374 (LIL). Dpto. Trancas, Camino a Lara, 3259 m snm, 20-I-2004, *Slanis et al.* 124 (LIL 606770).

Caiophora coronata (Gillies ex Arn.) Hook. & Arn.

ARGENTINA. Prov. Salta. Dpto. Santa Victoria, Abra Colorada, camino a Santa Victoria, a ± 37 Km del pueblo, ± 4415 m snm, 6-IV-2014, *Slanis & Diéguez* 4876

(LIL 615203); Camino a Nazareno, Abra El Condor, 22° 22' 01" S 65° 17' 43,6" O, 4269 m snm, 23-III-2010, *Slanis et al.* 3117 (LIL 611042).

Caiophora dumetorum Urb. & Gilg

ARGENTINA. Jujuy. Depto. Humahuaca, Maimará, Hualchín, 26-I-1906, *Budin* 78 (LIL 77878); Quebrada del Chorro, 2700 m snm, 24-III-1952, *Petersen & Hjerting* 76 (LIL 378708).

Caiophora hibiscifolia (Griseb.) Urb. et Gilg

ARGENTINA. Prov. Jujuy. Depto. Dr. Manuel Belgrano, Angosto de Jaire, Camino a Tiraxi, 24° 01' 24,3" S 65° 23' 22,2" W, 1654 m snm, 26-IV-2010, *Slanis et al.* 3047 (LIL 610929). Prov. Tucumán. Depto. Monteros, R. P. 307 camino a Tafí del Valle, 26° 59' 50,0" S 65° 39' 47,4" W, 1500 m snm, 24-III-2014, *Muruaga et al.* 1676 (LIL 614363).

Caiophora lateritia Klotzsch.

ARGENTINA. Prov. Tucumán. Dpto Burruyacu, Sierra El Nogalito, 1400 m snm, 8-I-1990, *Slanis & Aceñolaza* 382 (LIL 590917). Dpto. Tafí del Valle, El Churqui, 2300 m snm, 13-I-2012, *Grau s.n.* (LIL 613278); El Potrerillo, 26° 57' 19,8" S 65° 43' 50,5" W, 2169 m snm, 7-III-2014, *Muruaga et al.* 1581 (LIL 614260).

Caiophora mollis (Griseb.) Urb. & Gilg

ARGENTINA. Prov. Catamarca. Dpto. Belén, El Rodeo – Quebrada de Los Potrerillos, 2500–2550 m snm, 26-I-1952, *Sleumer & Vervoort* 2475 (LIL 392942); Portezuelo del Río Blanco, bajada a Las Bayas, 2800 m snm, 28-I-1952, *Sleumer & Vervoort* 2542 (LIL 392944).

Caiophora nivalis Lillo

ARGENTINA. Prov. Tucumán. Dpto. Tafí del Valle, Cumbres Calchaquíes, 4400 m snm, 28-I-1907, *Dinelli s.n.* (LIL 65754); Senda de Reyes a lagunas de Huaca Huasi, 26°40' S 65° 45' W, 4310 m snm, 9-IV-2014, *Grau s.n.* (LIL 614215).

Caiophora pulchella Urb. & Gilg.

ARGENTINA. Prov. Mendoza. Dpto. Las Heras, Quebrada del Chacay, 3950 m snm, 25-XI-1945, *Semper* 10325 (LIL 67134). Dpto. San Carlos, Quebrada del Paso de la Cruz de Piedra (Aduana), 15-I-1949, *Ruiz Leal* 11692 (LIL 70325).

Caiophora rosulata subsp. *taraxacoides* (Killip) Weigend & M. Ackermann

ARGENTINA. Catamarca. Depto. Andalgalá, s.loc., 26-I-1955, *Jörgensen* 1158 (LIL 77856); Cumbres Calchaquíes, Senda de Reyes a Pucará, 3800 m snm, 3-II-2012, *Grau s.n.* (LIL 613279).

Caiophora sleumerii Slanis, Perea & Grau

ARGENTINA. Prov. Catamarca. Dpto. Santa María, San Antonio del Cajón, 26°23' S 66°14' W, 3000 m snm, 24-III-2015, *Slanis & Grau* 6534 (LIL 614296).

Caiophora spegazzinii Urb. & Gilg

ARGENTINA. Prov. Catamarca. Dpto. Santa María, San Antonio del Cajón, 26°23' S 66°14' W, 3000 m snm, 24-III-2015, *Slanis & Grau* 6535 (LIL 614298). Prov. Tucumán. Dpto. Tafí del Valle, Camino a Amaicha, pasando el Infiernillo, 26° 41' 38,9" S 65° 48' 10" W, 2300 m snm, 7-III-2014, *Muruaga et al.* 1586 (LIL 614265).

Caiophora vallegrandensis Slanis & Bulacio

ARGENTINA. Prov. Jujuy, Dpto. Valle Grande, Sierras de Calilegua, camino al Alto de Calilegua, Pino de Descanso, 23-III-2022, *Slanis & Bulacio* 5422 (LIL 617739); De Duraznillo a Campo Colorado, 23-III-2022, *Slanis & Bulacio* 5421 (LIL 617740).

ANÁLISIS DE LOS DATOS

En un mínimo de 20 granos por especie y para cada técnica, se determinaron las siguientes magnitudes: longitud del eje polar (P), diámetro ecuatorial (E), relación P/E para definir la forma, dimensión del apocolpio (Ap), dimensión del mesocolpio (Mp), espesor de la exina (EE), largo (Len) y ancho (Aen) de la endoapertura.

Para la caracterización de los granos de polen se utilizó la terminología de Punt *et al.*, 2007. La clasificación de los granos según el tamaño corresponde a Erdtman (1952). Cada muestra fue codificada, descripta, fotografiada y conservada en la Palinoteca de la Fundación Miguel Lillo (PAL-TUC). Los parámetros y observaciones considerados se resumen en formato tabla.

Mediante el empleo del paquete estadístico InfoStat versión 2016 (Di Rienzo *et al.*, 2016) se realizó un Análisis de Componentes Principales (ACP) para conocer las relaciones entre todas las variables de las especies estudiadas. La matriz se elaboró con las variables obtenidas a partir de material no acetolizado. Los parámetros considerados son: P: longitud del eje polar, E: diámetro ecuatorial, Ap: longitud del apocolpio, Ms: longitud del mesocolpio, EE: espesor de la exina, Len: largo de la endoapertura, Aen: ancho de la endoapertura, P/E: relación longitud del eje polar y diámetro ecuatorial. Los resultados se presentan en un gráfico de ordenamiento dentro de un sistema cartesiano en el cual los taxones estudiados se representan mediante puntos y las variables con vectores.

RESULTADOS

Descripción general de los granos de *Caiophora* estudiadas

MO (Fig. 1, 2, 3, 4). Isopolares, radiosimétricos; en material acetolizado son de tamaño mediano (32 a 22 μm), prolato a prolato-esferoidales (1,8 a 1,08) mientras que en polen no acetolizado el tamaño oscila de pequeños a medianos (30 a 12,6 μm) y de prolatos a oblato-esferoidales (1,92 a 0,99 μm). Con respecto a las aperturas los granos

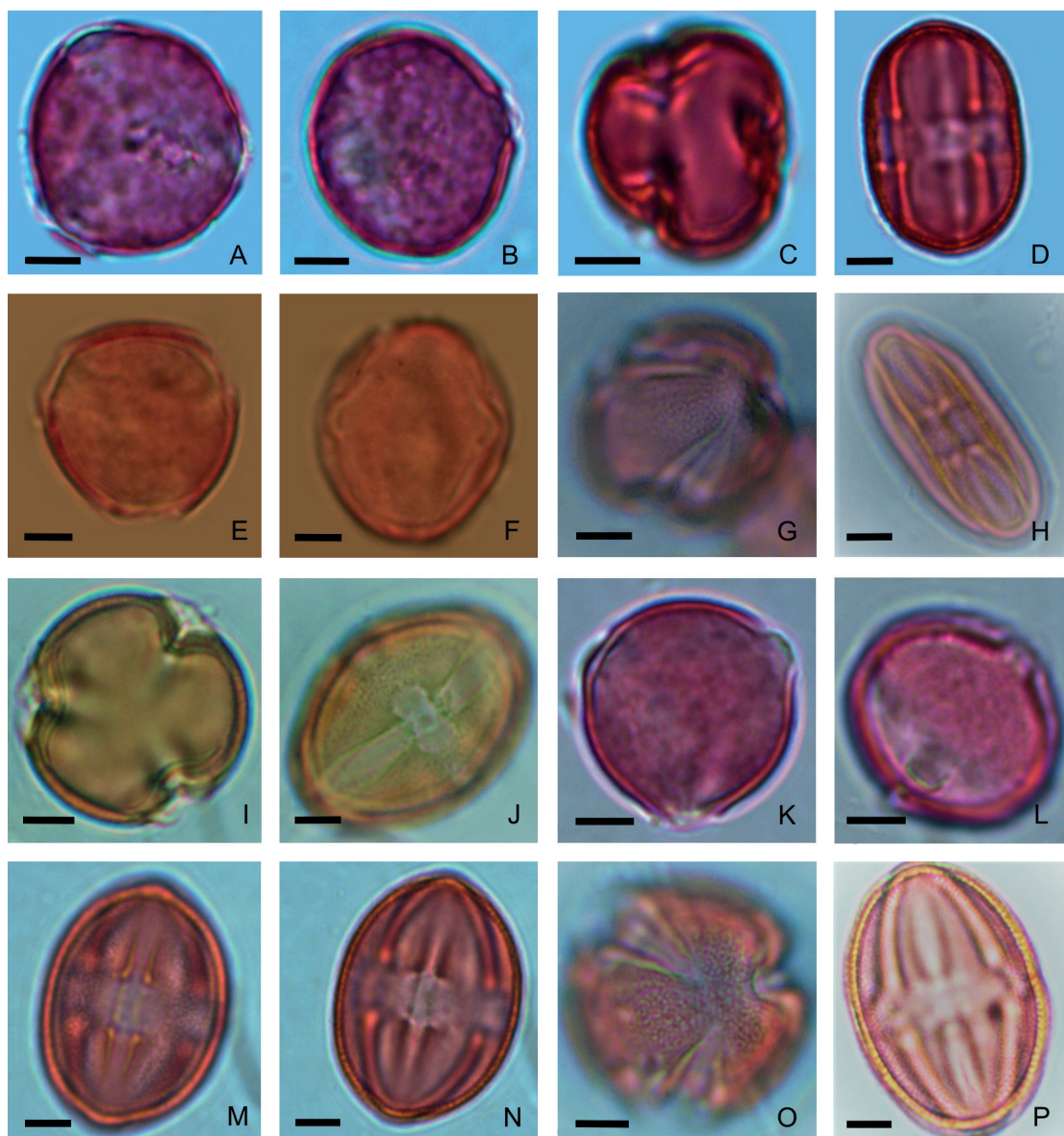


Fig. 1. Micrografías de polen con MO. A-D) *C. aconquiae*. E-H) *C. boliviiana*. I-J) *C. canarinoides*. K-N) *C. cernua*. O-P) *C. chuquitensis*. A, B, E, F, K, L: polen no acetolizado. C, D, G, H, I, J, M, N, O, P: polen acetolizado. A, C, E, G, I, K, O: vista polar. B, D, F, H, J, L, M, N, P: vista ecuatorial. Escala: 5 μm .

Fig. 1. Pollen micrographs with LM. A-D) *C. aconquiae*. E-H) *C. boliviiana*. I-J) *C. canarinoides*. K-N) *C. cernua*. O-P) *C. chuquitensis*. A, B, E, F, K, L: non-acetolysized pollen. C, D, G, H, I, J, M, N, O, P: acetolysized pollen. A, C, E, G, I, K, O: polar view. B, D, F, H, J, L, M, N, P: equatorial view. Scale: 5 μm .

son tricolporados con ectoaperturas de tipo colpo, largas y angostas constreñidas en la zona ecuatorial y endoaperturas lalongadas, lolongadas a circulares. La exina mide desde 2 a 0,7 μm . La sexina (1,1 a 0,4 μm) es semitectada, microreticulada y la nexina (0,9 a 0,3 μm) exhibe engrosamientos a nivel de las endoaperturas (costillas) (Fig. 1 D, M, N y Fig. 3 L). Tabla 1. A excepción de *C. aconquiae*, *C. coronata*, *C. hibiscifolia*, *C. mollis*, *C. nivalis*, *C. spegazinii* cuyos granos acetolizados son notablemente fosaperturados y trilobulados como resultado de la técnica. En las especies restantes el contorno de los granos es convexo y anguloaperturado.

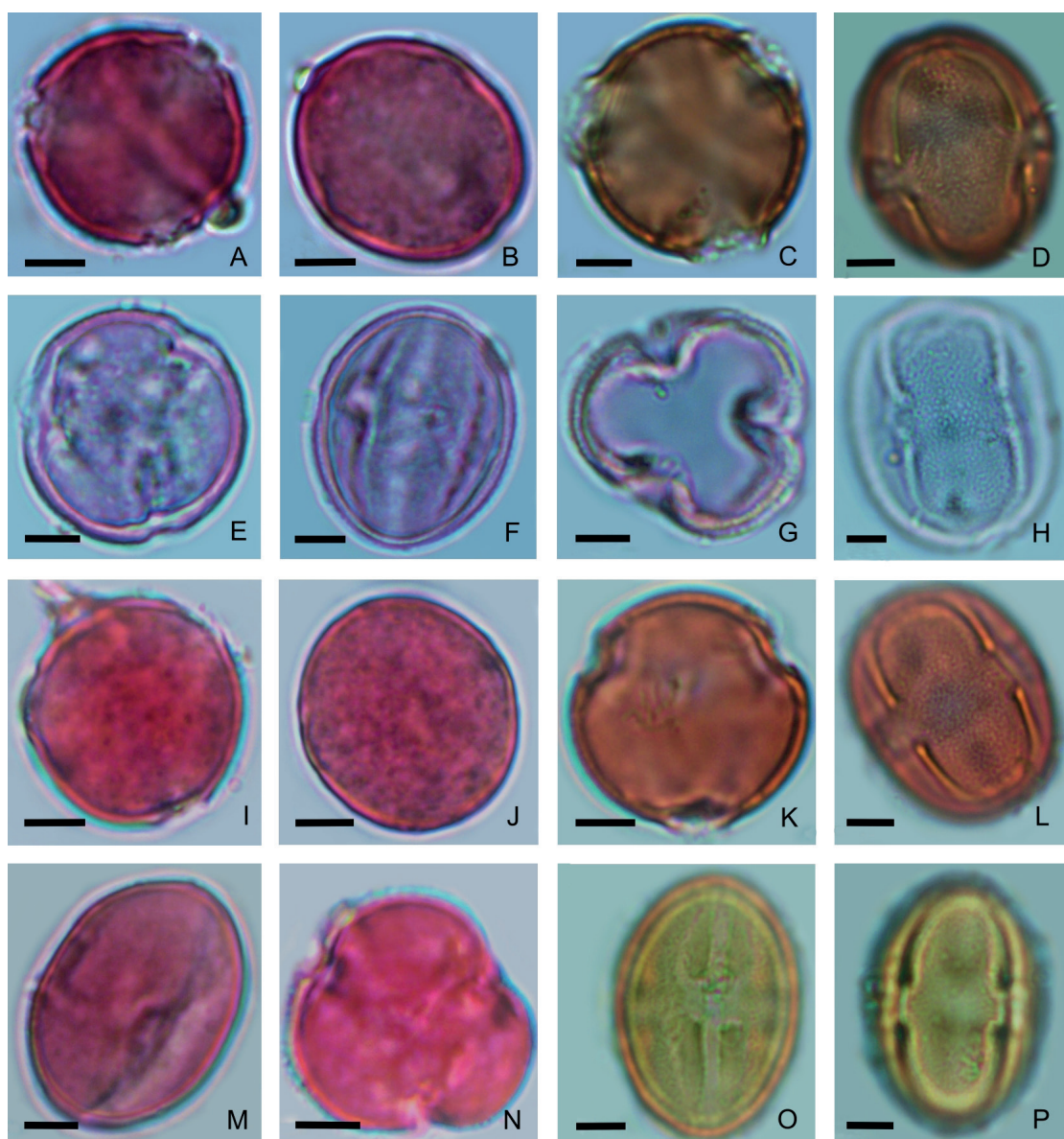


Fig. 2. Micrografías de polen con MO. A-D) *C. clavata*. E-H) *C. coronata*. I-L) *C. dumetorum*. M-P) *C. hibiscifolia*. A, B, E, F, I, J, M, N: polen no acetolizado. C, D, G, H, K, L, O, P: polen acetolizado. A, C, E, G, I, K, N: vista polar. B, D, F, H, J, L, M, O, P: vista ecuatorial. Escala: 5 μm .

Fig. 2. Pollen micrographs with LM. A-D) *C. clavata*. E-H) *C. coronata*. I-L) *C. dumetorum*. M-P) *C. hibiscifolia*. A, B, E, F, I, J, M, N: non-acetolysized pollen. C, D, G, H, K, L, O, P: acetolysized pollen. A, C, E, G, I, K, N: polar view. B, D, F, H, J, L, M, O, P: equatorial view. Scale: 5 um.

Tabla 1. Cuadro comparativo de los caracteres diferenciales en material acetolizado y no acetolizado. T: Tratamiento: NoAC: no acetolizado, AC: acetolizado; P: eje polar; E: diámetro ecuatorial; P/E: relación eje polar/dámetro ecuatorial; FG: forma del grano; p: prolato, subp: subprolato, pEsf: prolato-esferoidal, Ob: oblate, ObEsf: oblate-esferoidal; E: esferoidal; Ap: apocolpio; Ms: mesocolpium; EE: Espesor de la Exina; Fe: forma de endoapertura: c: circular, la: lalongada, lo: lalongada, Len: largo de endoapertura; Aen: ancho de endoapertura.

Table 1. Comparative table of differential characters in acetolized pollen and non-acetolized pollen. T: Treatment: NoAC: non-acetolized, AC: acetolized; P: polar axis; E: equatorial axis; P/E: relationship length of the polar axis and equatorial diameter; FG: grain shape: p: prolate, subp: subprolate, pEsf: prolate-spherical; Ob: oblate, ObEsf: oblate-spherical; E: spherical; Ap: apocolpium; Ms: mesocolpium; EE: exine thickness; Fe: endoaperture shape: c: circular, la: lalongated, lo: lalongated; Len: endoaperture length; Aen: endoaperture width.

PAL-TUC	Especies	T	P (μm)	E (μm)	P/E	FG	Ap (μm)	Ms (μm)	EE (μm)	Endoapertura (μm)		
										Fe	Len	Aen
265	<i>Caiophora aconquijae</i>	NoAC	24(21.5)20	21(19.2)18	1.05-1.16	subp a pEsf	7(5.2)5.4	17(13.9)12	10(8.7)0.7	la	5-4	5-6
		AC	27(25.3)24	18(7)16	1.4-1.6	p	3.6(3.2)5.3	8.3(7.9)7.3	1.2(1.1)1.06	la	4	5-6
266	<i>Caiophora boliviensis</i>	NoAC	25.8(23.1)12.6	21.7(19.4)18.8	1.14-1.3	subp	7(5.0)4.4	9.7(12)13.7	0.9(1.1)1.3	c	4-6	
		AC	28.7(27.2)24.5	23.2(21.5)20.1	1.08-1.38	p a pEsf	8(6.3)6.3	15.6(13.9)12	1.2(1.0)2.9	la	5	8
267	<i>Caiophora canarioides</i>	NoAC	24.8(23.5)22.6	21(4.2)4.7	1.1-1.2	subp a pEsf	6(4.5)3.4	15(14)7.7	1.3(0.9)0.8	la	5	7
		AC	30.3(28.9)26.5	23.8(22.5)19.3	1.2-1.4	p a subp	6(5.3)3.8	18.6(15.3)13.3	1.4(1.1)1.09	la	2.5	6-7
332	<i>Caiophora cernua</i>	NoAC	21.7(21.4)19.8	18.8(17.3)16.5	1.1-1.4	p a Esf	6(1.5)8.5	11.6(11.2)10.3	1.2(1)0.8	la	4.5	5-6
		AC	29.8(27)24	20.8(19)17.7	1.3-1.6	p a subp	6.4(4.8)4.3	11.7(11)9.5	1.3(0.9)0.8	c	5-6	7-8
354	<i>Caiophora chiquitensis</i>	NoAC	24.9(23.2)21	21.2(20.4)19.7	1.06-1.25	subpr a pEsf	6(1.5)8.5	13.9(13.1)13.9	1.3(1.1)0.9	la	5	6-7
		AC	33.9(30.6)27.9	25.9(23.6)21.3	1.16-1.45	p a subp	6(7.4)3.6	9.2(12.7)14.8	1.7(1.4)0.9	la	3	5
383	<i>Caiophora clavata</i>	NoAC	23(21.5)19.9	19.2(18.3)16.6	1.1-1.2	subp a pEsf	4(6.4)3.4	13.9(12.8)11.5	1.2(0.9)0.8	c	3-5	
		AC	27.6(25.5)24.2	20.8(19.4)17.1	1.2-1.4	p a subp	6(5.2)4.3	14.7(13.2)11.7	1.1(1.1)0.8	la	5	7
622	<i>Caiophora coronata</i>	NoAC	25.5(23)20.4	20.3(19.7)17.3	1.1-1.2	subp a pEsf	6.3(5.4)3	15.5(12.8)10.7	0.8(1.1)1.4	lo	5-6	3-5
		AC	33.3(32.2)30.9	26(23)21.7	1.2-1.5	p a subp	10(7.2)4.3	14(13)10.5	1.5(1.2)1	lo	5	4
387	<i>Caiophora dumetorum</i>	NoAC	23.5(21.6)22.7	19.5(18.9)18.5	1.1-1.2	subp a pEsf	8.4(6.4)4.4	14(12.9)11.8	1.0(0.8)0.7	c	5	
		AC	26(23.9)22.8	21.3(20.4)19.8	1.1-1.3	subp a pEsf	6.4(5.3)3.5	10(12.5)11	10(9.8)0.8	la	4	7
303	<i>Caiophora hibiscifolia</i>	NoAC	27.4(24.7)22.2	18.9(17.1)15.3	1.35-1.6	p	4.7(5.8)7.1	11.9(10.7)9.9	0.8(0.7)0.7	c	5-4	
		AC	29.7(28.3)22	21.1(19.4)18.5	1.4-1.6	p	6.1(4.6)3.5	11.8(10.8)8.6	1.3(1.0)0.8	la	4	7-8
269	<i>Caiophora lateritia</i>	NoAC	23.8(23.4)23	23.7(22.9)22.6	0.99-1.04	pEsf a ObEsf	7.8(6.8)5.1	16(14.9)3.4	1(1.2)1.4	la	5	7
		AC	32(27.5)25	22.4(23.2)21.5	1.16-1.2	subp	5.9(4.9)3.9	15.2(12.9)12.6	2(1.6)2	la	3-4	5-7
428	<i>Caiophora mollis</i>	NoAC	26(23.9)24.2	20.7(19.7)18.4	1.2-1.4	p a subp	5.9(6.5)4.6	11.6(13.6)14.7	0.95(0.8)0.7	c	4-6	
		AC	27.8(27.2)26	22.9(21.9)19.8	1.2-1.4	p a subp	6.3(4.8)3.5	15(13)11	1.2(1.1)0.9	la	4-5	5-7
434	<i>Caiophora nivalis</i>	NoAC	28(27.2)25.4	16.7(15.1)14.7	1.5-1.92	p	8.2(7.7)7.7	5.5(4.9)3.6	10(8.6)0.7	la	3	5-6
		AC	32.6(29.6)28.5	21.4(18.1)16	1.4-1.8	p	5.6(4.4)3	11(7.7)5.4	1.3(0.9)0.8	la	5	6-7
811	<i>Caiophora pulchella</i>	NoAC	24(22.3)19.7	15.5(16.8)19.7	1-1.5	p a Esf	6(8)9.4	9.7(12.6)15	1.6(1.3)1.4	4-5		
		AC	23.(25.5)28.1	18.3(17.2)24.16	1.36-1.76	p	8.4(4.9)3	8.3(9.5)12.5	1.2(1.4)1.8	la	3-4	
479	<i>Caiophora rosulata</i> subsp. <i>taraxacoides</i>	NoAC	30(27.6)23.9	19.5(17.6)16.3	1.4-1.7	p	9.6(5.9)4	14(6.1)4.7	1.1(0.9)0.7	lo	5	3-4
		AC	31.2(28.9)26.6	22(19.9)18.6	1.3-1.7	p a subp	8.5(5.4)3.8	12.2(10)7.4	1.2(0.9)0.7	lo	5	3-4
544	<i>Caiophora sieumerii</i>	NoAC	25.5(24.6)24	20(17.9)15.5	1.22-1.55	p a subp	7.8(7.1)46.9	14.4(10.9)8.5	1.3(0.9)0.6	la	2-4	5-4
		AC	25.9(24)21.9	19.2(18.5)19.2	1.2-1.4	p a subp	19.2(5)4.2	12.2(10.3)8.9	1.3(1.1)0.9	la	2-3	3-5
752	<i>Caiophora spegazzinii</i>	NoAC	24(21.8)21	19(17.4)16	1.1-1.4	p a pEsf	5.6(4.7)4	11(9.6)3	1.1(4)1.1	la	3-5	
		AC	28.2(26.9)24.3	20.3(18.7)16.8	1.3-1.6	p a subp	8.6(6.6)5.8	10.9(10.3)9.7	1.6(1.3)1	la	4	5
882	<i>Caiophora vallegrandensis</i>	NoAC	27.6(23.6)21	22.2(17.7)13.7	1.2-1.5	p a subp	8.5(5.3)3.3	14.6(10.6)9	1.6(7.9)0.7	la	2-4	3-5
		AC	27.6(25.9)24.1	18.5(17.2)14.3	1.4-1.8	p	6.4(4.2)2.2	9.4(7.2)4.4	1.2(1.1)2.2	la	3-5	5-6

MEB (Fig. 5, 6, 7). Exina reticulada con muros entrelazados en diferentes niveles: retículos simples homobrocados a heterobrocados. El ancho de los muros oscila entre 0,1 a 0,3 μm y su superficie puede ser lisa, microgranulada, microperforada o estriada transversalmente (Fig. 7). Los lúmenes irregulares presentan un diámetro que varía de 0,1 a 0,5 μm . Según la relación diámetro de lumen/espesor de los muros el retículo puede ser latimurado o angustimurado. En todas las especies analizadas, se observa una disminución del diámetro de los lúmenes hacia los colpos. Los colpos se presentan con o sin margen, margen psilado o con escasas perforaciones, de grosor variable (1,7 a 0,5 μm). En *C. lateritia* la membrana apertural del colpo se

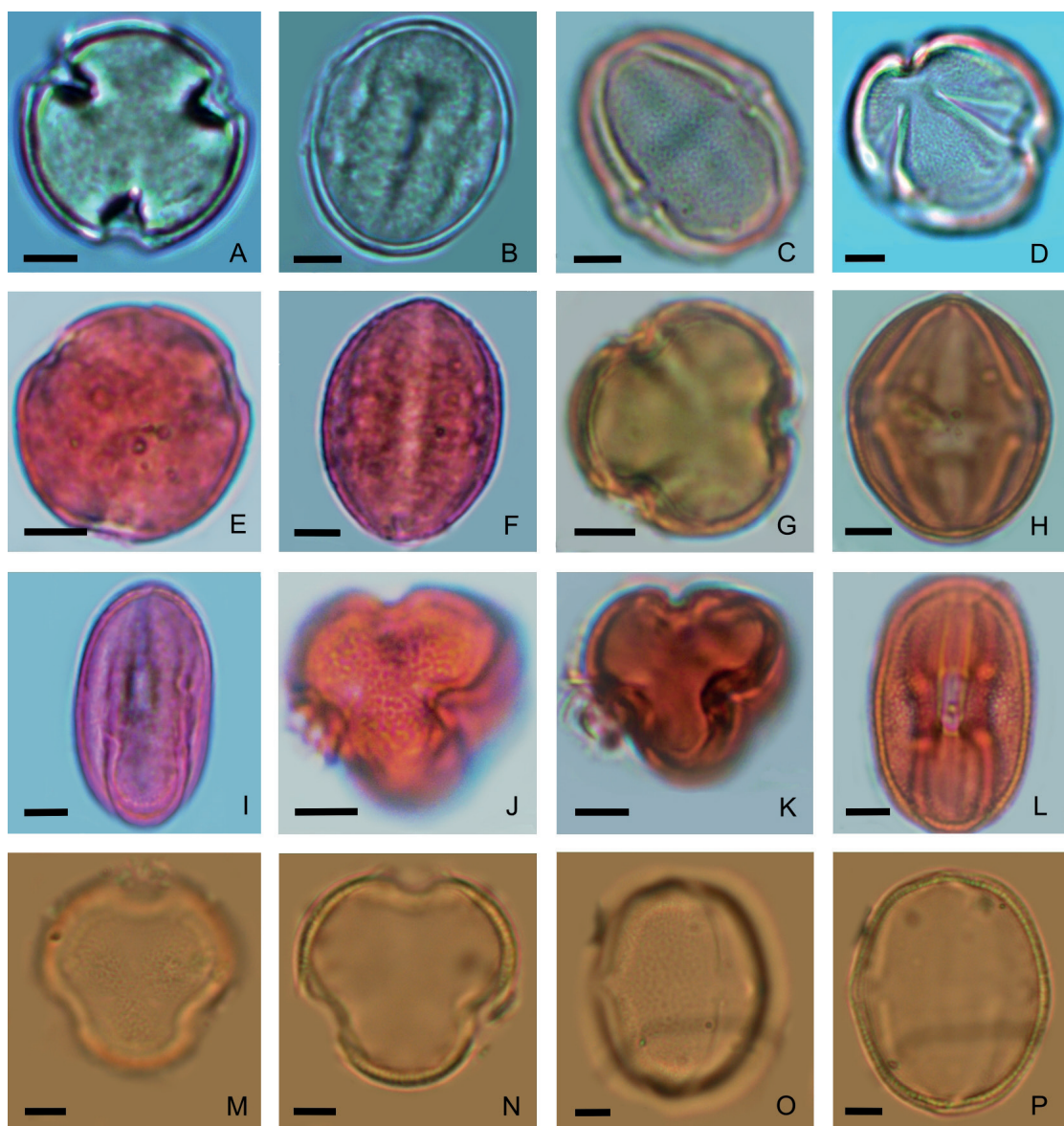


Fig. 3. Micrografías de polen con MO. A-D) *C. lateritia*. E-H) *C. mollis*. I-L) *C. nivalis*. M-P) *C. pulchella*. A, B, E, F, I: polen no acetolizado. C, D, G, H, J, K, L, M, N, O, P: polen acetolizado. A, E, G, J, K, M, N: vista polar. B, C, F, H, I, L, O, P: vista ecuatorial. D: vista subpolar. Escala: 5 μm .

Fig. 3. Pollen micrographs with LM. A-D) *C. lateritia*. E-H) *C. mollis*. I-L) *C. nivalis*. M-P) *C. pulchella*. A, B, E, F, I: non-acetolysed pollen. C, D, G, H, J, K, L, M, N, O, P: acetolysed pollen. A, E, G, J, K, M, N: polar view. B, C, F, H, I, L, O, P: equatorial view. D: sub-polar view. Scale: 5 μm .

encuentra deprimida o plegada hacia el interior, lo que impide observar el margen (Fig. 6 B) y las características de la membrana. A excepción de *C. canarinoides* (Fig. 7 C), *C. coronata* (Fig. 7 G) y *C. cernua* (Fig. 7 D), que presentan retículo latimurado, en las demás especies es angustimurado (Tabla 2). Presentan membrana apertural lisa (*C. nivalis*), lisa con perforaciones (*C. clavata*, *C. sleumeri*, *C. pulchella*), rugosa (*C. aconquiae*, *C. boliviensis*, *C. coronata*, *C. spiegazzinii*), rugosa con perforaciones (*C. canarinoides*, *C. chuquitensis*, *C. dumetorum*, *C. hibiscifolia*, *C. mollis*, *C. rosulata* rosulata subsp. *taraxacoides*) o rugulada, con rúgulas lisas (*C. vallegrandensis*, *C. cernua*).

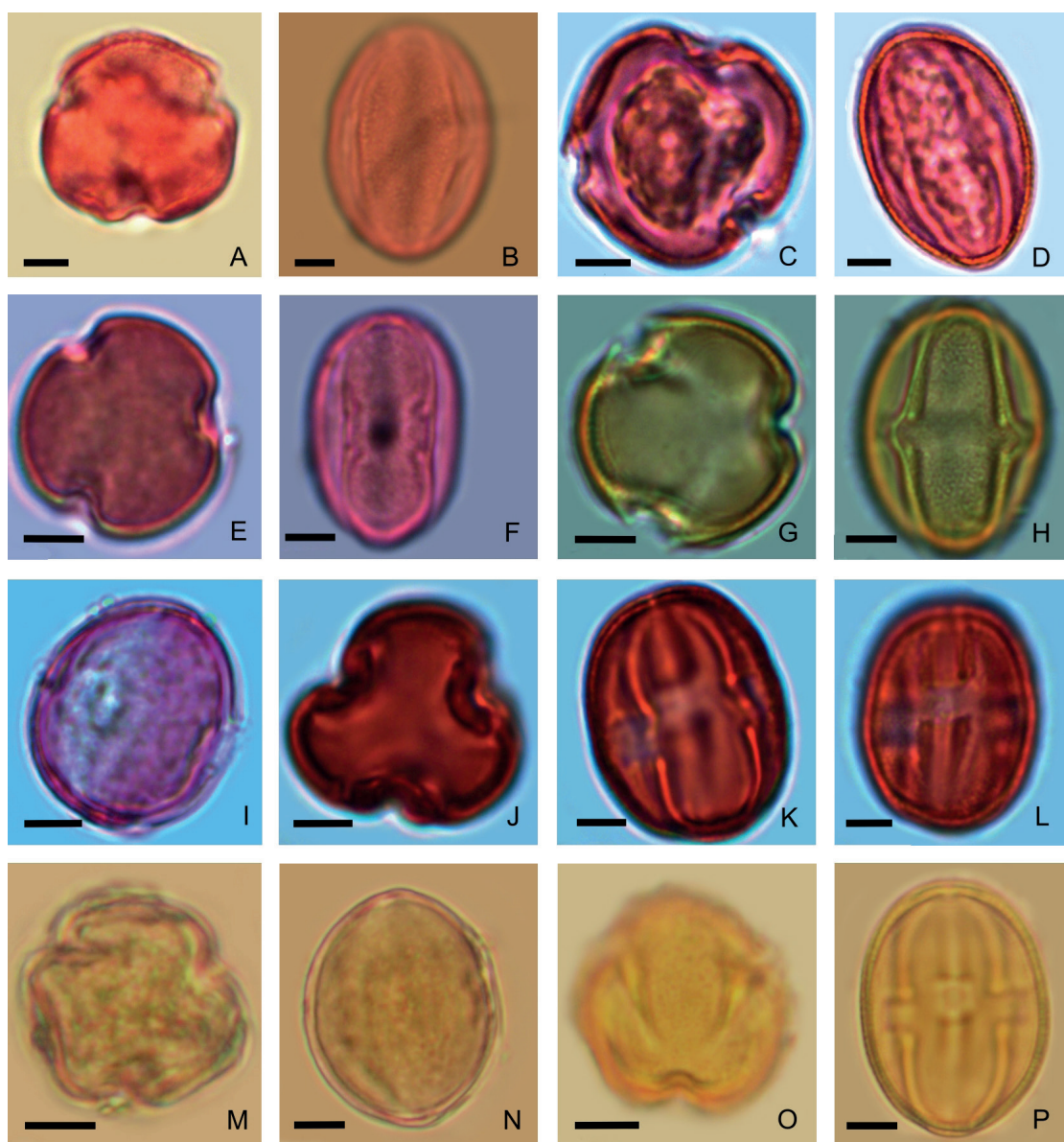


Fig. 4. Micrografías de polen con MO. A-D) *C. rosulata*. E-H) *C. sleumeri*. I-L) *C. spiegazzinii*. M-P) *C. vallegrandensis*. A, B, E, F, I, M, N: polen no acetolizado. C, D, G, H, J, K, L, O, P polen acetolizado. A, C, E, G, J, M: vista polar. B, D, F, H, I, K, L, N, P: vista ecuatorial. O: vista subpolar. Escala: 5 μ m.

Fig. 4. Pollen micrographs with LM. A-D) *C. rosulata*. E-H) *C. sleumeri*. I-L) *C. spiegazzinii*. M-P) *C. vallegrandensis*. A, B, E, F, I, M, N: non-acetolysed pollen. C, D, G, H, J, K, L, O, P acetolysed pollen. A, C, E, G, J, M: polar view. B, D, F, H, I, K, L, N, P: equatorial view. O: sub-polar view. Scale: 5 μ m.

Tabla 2. Detalles del retículo. DL: diámetro del lumen; FL: forma lumen; EM: espesor muro; SM: superficie muro; Relación diámetro del lumen y espesor del muro.**Table 2.** Reticulum details: DL: lumina diameter; FL: lumina shape; EM: murus thickness; SM: murus surface; relationship between lumina diameter and murus thickness.

Species	Lumen		Muro		Relación entre diámetro de lumen y espesor de los muros	Retículo	Margen del colpo (μm)
	DL (μm)	FL	EM (μm)	SM			
<i>Caiophora aconquijae</i>	0,1 - 0,4	Irregular	0,1 - 0,3	Lisa	Angustumurado	Heterobrocado, diámetro de los lumen disminuyen hacia las ectoaperturas. Con muros tramados en distintos niveles.	Ausente
<i>Caiophora boliviensis</i>	0,3 - 0,5	Irregular	0,1	Lisa	Angustumurado	Heterobrocado, diámetro de los lumen disminuyen Hacia las ectoaperturas.	Presente 0,5 - 1
<i>Caiophora canarioides</i>	0,1 - 0,2	Irregular	0,1 - 0,2	Lisa	Latimurado	Heterobrocado, leve tramado de muros en distintos niveles. Estrato superior con mayor espesor del muro y diámetro del lumen.	Presente 0,5 - 0,6
<i>Caiophora cernua</i>	0,1 - 0,3	Irregular	0,1 - 0,3	Lisa	Latimurado	Heterobrocado.	Presente 0,5 - 1,3
<i>Caiophora chuquitenensis</i>	0,2 - 0,4	Irregular	0,1 - 0,2	Lisa	Angustumurado	Heterobrocado, diámetro de los lumen disminuyen hacia las ectoaperturas y polos. Con muros tramados en distintos niveles, el espesor de los mismos se mantienen en todos los estratos.	Presente 1 - 1,25
<i>Caiophora clavata</i>	0,2	Irregular	0,1 - 0,2	Con perforaciones	Angustumurado	Heterobrocado.	Presente 0,8 - 1
<i>Caiophora coronata</i>	0,2	Irregular	0,2 - 0,3	Lisa	Latimurado	Leve tramado de muros en 2 estratos.	Ausente
<i>Caiophora dumetorum</i>	0,2 - 0,3	Irregular	0,1 - 0,2	Con perforaciones	Angustumurado	Heterobrocado.	Presente 0,9 - 1,1
<i>Caiophora hibiscifolia</i>	0,2	Irregular	0,1 - 0,2	Con perforaciones	Angustumurado	Homobrocado.	Ausente
<i>Caiophora lateritia</i>	0,2 - 0,5	Irregular	0,1 - 0,2	Lisa	Angustumurado	Heterobrocado, muros tramados en 2 estratos.	Ausente
<i>Caiophora mollis</i>	0,2 - 0,4	Irregular	0,1	Con perforaciones	Angustumurado	Heterobrocado, diámetro de lumen disminuyen hacia las ectoaperturas. Con muros tramados en distintos niveles.	Presente 1 - 1,25
<i>Caiophora nivalis</i>	0,2 - 0,3	Irregular	0,1 - 0,2	Lisa	Angustumurado	Heterobrocado, muros tramados en 2 niveles, los del nivel superior con mayor espesor.	Presente 0,7 - 1
<i>Caiophora pulchella</i>	0,2 - 0,5	Irregular	0,1 - 0,2	Lisa	Angustumurado	Heterobrocado, muros tramados en 2 niveles. Estrato superior con mayor espesor del muro y diámetro del lumen.	Presente 0,5 - 07
<i>Caiophora rosulata</i> subsp. <i>taraxacoides</i>	0,2 - 0,4	Irregular	0,1 - 0,2	Con perforaciones	Angustumurado	Heterobrocado, lumen disminuyen en diámetro hacia los colpos.	Presente 1,5 a 1,7
<i>Caiophora steumerii</i>	0,2 - 0,4	Irregular	0,1 - 0,2	Lisa	Angustumurado	Heterobrocado, muros entrelazados en 2 estratos.	Presente 0,6 - 0,8
<i>Caiophora spegazzinii</i>	0,2	Irregular	0,1 - 0,2	Lisa	Angustumurado	Heterobrocado.	Presente 0,9
<i>Caiophora vallegrandensis</i>	0,2 - 0,4	Irregular	0,1 - 0,2	Estriadas transversales	Angustumurado	Heterobrocada, muros entrelazados en 2 planos.	Ausente

Análisis de Componentes Principales (CP). Explica un 67,7 % de la varianza total. El eje de la CP1 explica un 50,4 % y el eje de la CP2 un 17,3 %. Los valores de la Tabla 3 muestran que la CP1 presenta correlaciones positivas con P/E y negativas con E, Ms y Len; la variable de mayor importancia en el eje es P/E, separa a las especies según su forma. El CP2 presenta correlación positiva para Aen, polarizada con correlaciones negativas de P y Len. De acuerdo con estos resultados se agruparon las variables de igual comportamiento respecto a la CP1 y CP2 y se representaron en un gráfico bidimensional (Fig. 8).

En relación al CP1 se observa hacia la izquierda un agrupamiento conformado por *Caiophora clavata*, *C. aconquiae*, *C. chuquitensis*, *C. boliviiana*, *C. dumetorum*, *C. coronata*, *C. canarinoides* y *C. cernua* que presentan granos con $P = 19,8\text{-}33,9 \mu\text{m}$, $E = 16\text{-}25,9 \mu\text{m}$, $P/E = 1,06\text{-}1,4 \mu\text{m}$ (granos esferoidales a prolatos), $EE = 0,7\text{-}1,1 \mu\text{m}$, $Aen = 3\text{-}7 \mu\text{m}$ y $Ap = 3\text{-}10 \mu\text{m}$. A la derecha, por debajo del eje horizontal, se encuentra un segundo agrupamiento que reúne a *C. hibiscifolia*, *C. sleumerii* y *C. rosulata* var. *taraxacoides* que exhiben granos con $P = 24\text{-}31,2 \mu\text{m}$, $E = 15,3\text{-}22 \mu\text{m}$, $P/E = 1,2\text{-}1,7$ (granos prolatos a subprolatos), $EE = 0,6\text{-}1,3 \mu\text{m}$, $Aen = 2\text{-}8 \mu\text{m}$ y $Ap = 4,7(5,8)7$

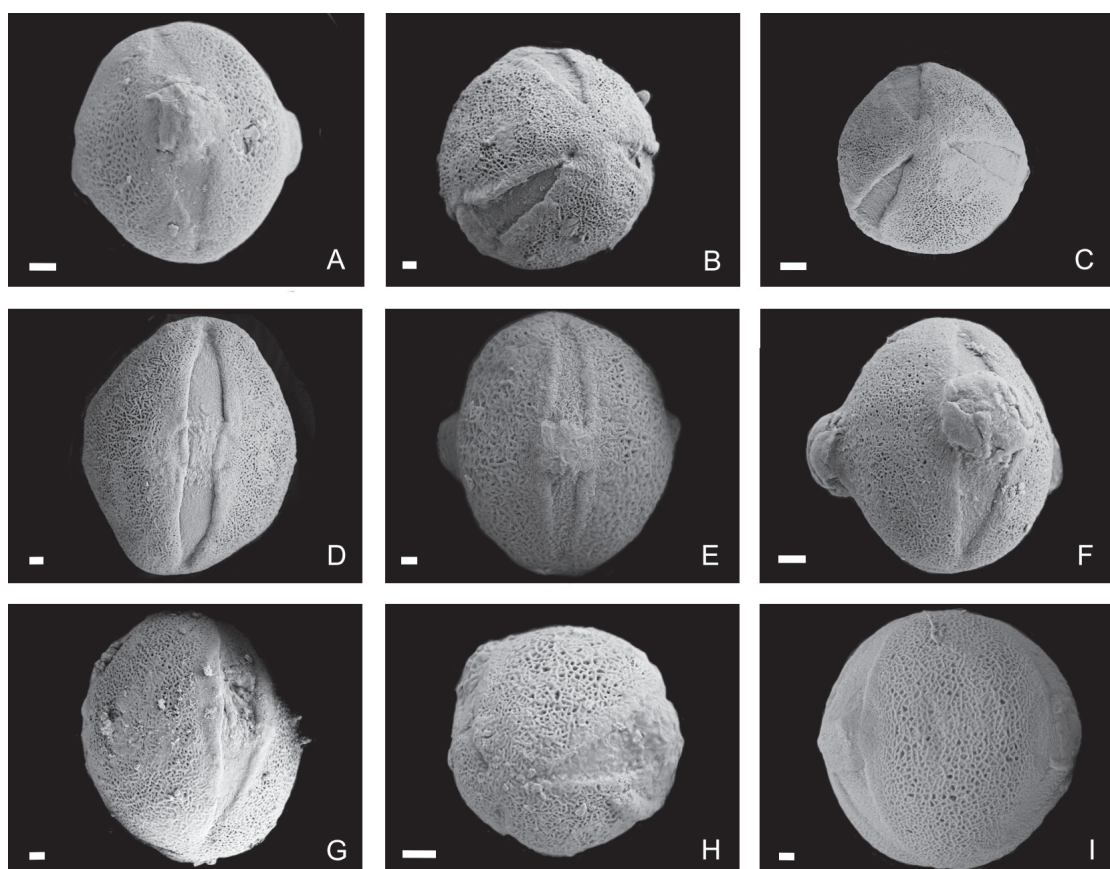


Fig. 5. Micrografías de polen con MEB. A) *C. aconquiae*, B) *C. boliviiana*, C-D) *C. canarinoides*, E) *C. cernua*. F) *C. chuquitensis*. G) *C. clavata*. H) *C. coronata*. I) *C. dumetorum*. B, C: vista polar; H: vista subpolar; A, D- G, I: vista ecuatorial. Escala: B, D, E, G, I: 1 μm ; A, C, F, H: 2 μm .

Fig. 5. Pollen micrographs with SEM. A) *C. aconquiae*. B) *C. boliviiana*. C-D) *C. canarinoides*. E) *C. cernua*. F) *C. chuquitensis*. G) *C. clavata*. H) *C. coronata*. I) *C. dumetorum*. B, C: polar view; H: subpolar view; A, D- G, I: equatorial view. Scale: B, D, E, G, I: 1 um; A, C, F, H: 2 um.

Tabla 3. Autovectores (e1 y e2) y correlaciones de las componentes principales (CP1 y CP2) con las variables originales, obtenidos en el ACP.

Table 3. Eigenvectors (e1 and e2) and correlations of the principal components (CP1 and CP2) with the original variables, obtained in the PCA.

Variables	Autovectores		Correlaciones	
	e1	e2	CP1	CP2
P	0,33	-0,47	0,66	-0,55
E	-0,43	-0,26	-0,85	-0,31
P/E	0,48	-0,09	0,97	-0,10
Ap	0,24	-0,16	0,47	-0,19
Ms	-0,45	-0,26	-0,91	-0,30
EE	-0,22	0,32	-0,44	0,38
Len	-0,37	-0,47	-0,74	-0,55
Aen	-0,18	0,53	-0,36	0,62

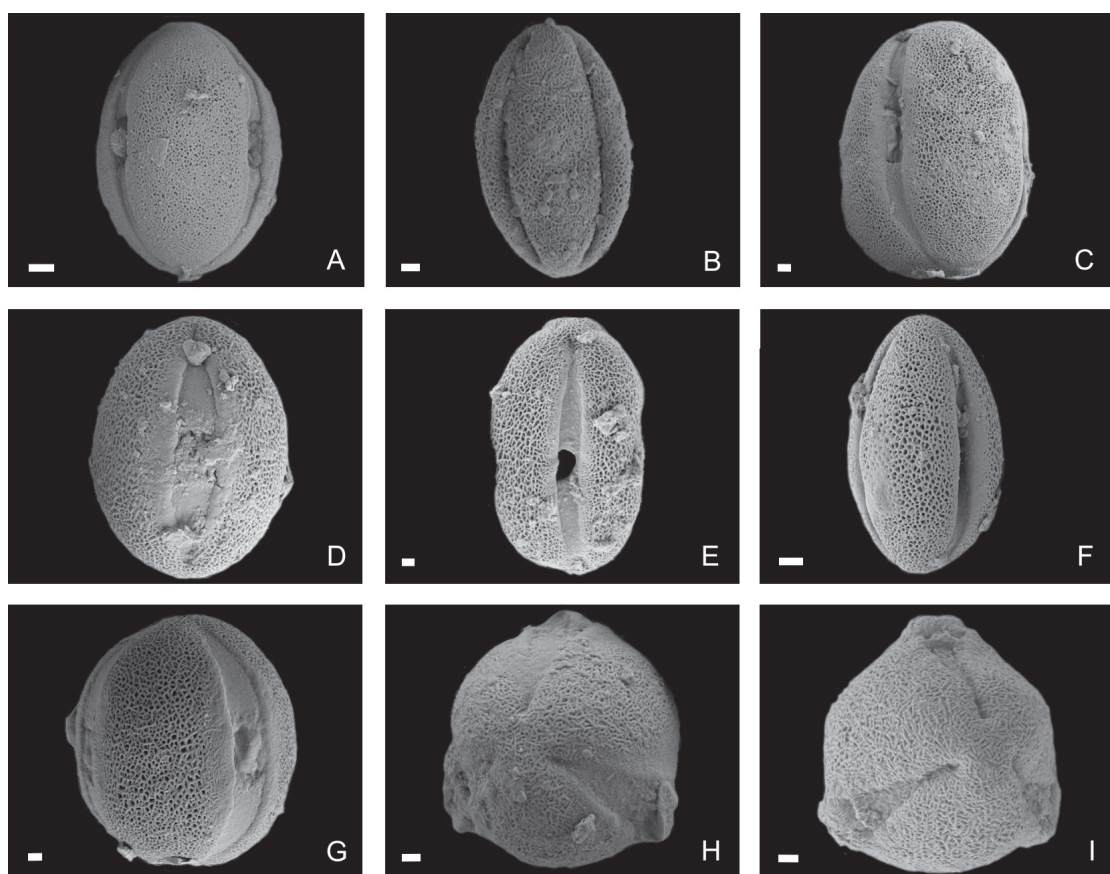


Fig. 6. Micrografías de polen con MEB. A) *C. hibiscifolia*. B) *C. lateritia*. C) *C. mollis*. D) *C. nivalis*. E) *C. pulchella*. F) *C. rosulata*. G) *C. sleumeri*. H) *C. spegazzinii*. I) *C. vallegrandensis*. A-G: vista ecuatorial. H-I: vista polar. Escala: C, E, G, H, I: 1 μm ; A, B, D, F: 2 μm .

Fig. 6. Pollen micrographs with SEM. A) *C. hibiscifolia*. B) *C. lateritia*. C) *C. mollis*. D) *C. nivalis*. E) *C. pulchella*. F) *C. rosulata*. G) *C. sleumeri*. H) *C. spegazzinii*. I) *C. vallegrandensis*. A-G: equatorial view. H-I: polar view. Escala: C, E, G, H, I: 1 μm ; A, B, D, F: 2 μm .

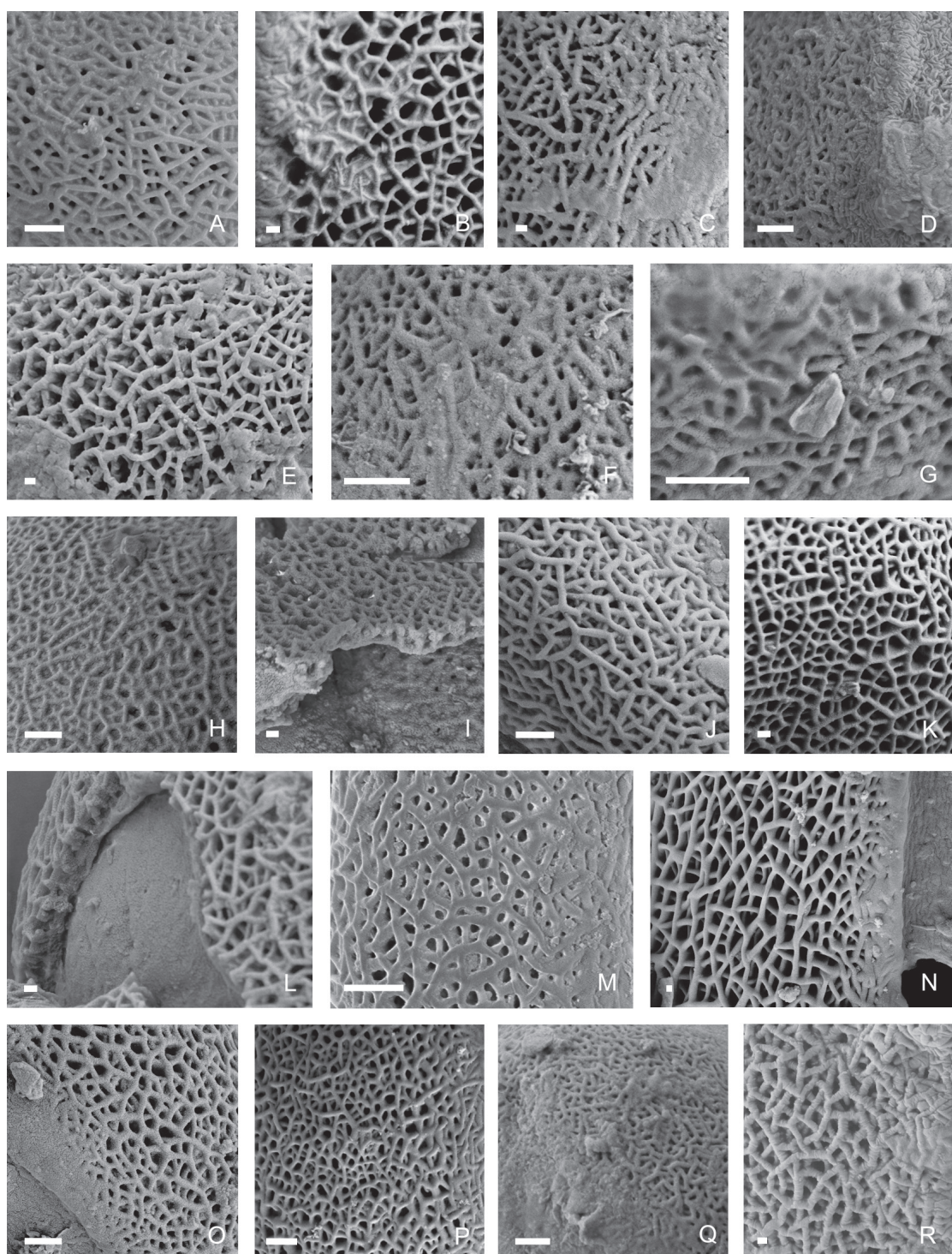


Fig. 7. MEB detalle de retículo. A) *C. aconquijae*. B) *C. boliviiana*. C) *C. canarinoides*. D) *C. cernua*. E) *C. chuquitensis*. F) *C. clavata*. G) *C. coronata*. H) *C. dumetorum*. I) *C. hibiscifolia*. J) *C. lateritia*. K-L) *C. mollis*. M) *C. nivalis*. N) *C. pulchella*. O) *C. rosulata*. P) *C. sleumeri*. Q) *C. spegazzinii*. R) *C. vallegrandensis*. Scale: A, D, F,G,H,J,M, O, P, Q :1 um; B,C,E,I,K,L,R: 0,2 μ m, N: 0,1 μ m.

Fig. 7. SEM detail of the reticulate exine. A) *C. aconquijae*. B) *C. boliviiana*. C) *C. canarinoides*. D) *C. cernua*. E) *C. chuquitensis*. F) *C. clavata*. G) *C. coronata*. H) *C. dumetorum*. I) *C. hibiscifolia*. J) *C. lateritia*. K-L) *C. mollis*. M) *C. nivalis*. N) *C. pulchella*. O) *C. rosulata*. P) *C. sleumeri*. Q) *C. spegazzinii*. R) *C. vallegrandensis*. Scale: A, D, F,G,H,J,M, O, P, Q: 1 μ m; B,C,E,I,K,L,R: 0,2 μ m, N: 0,1 μ m.

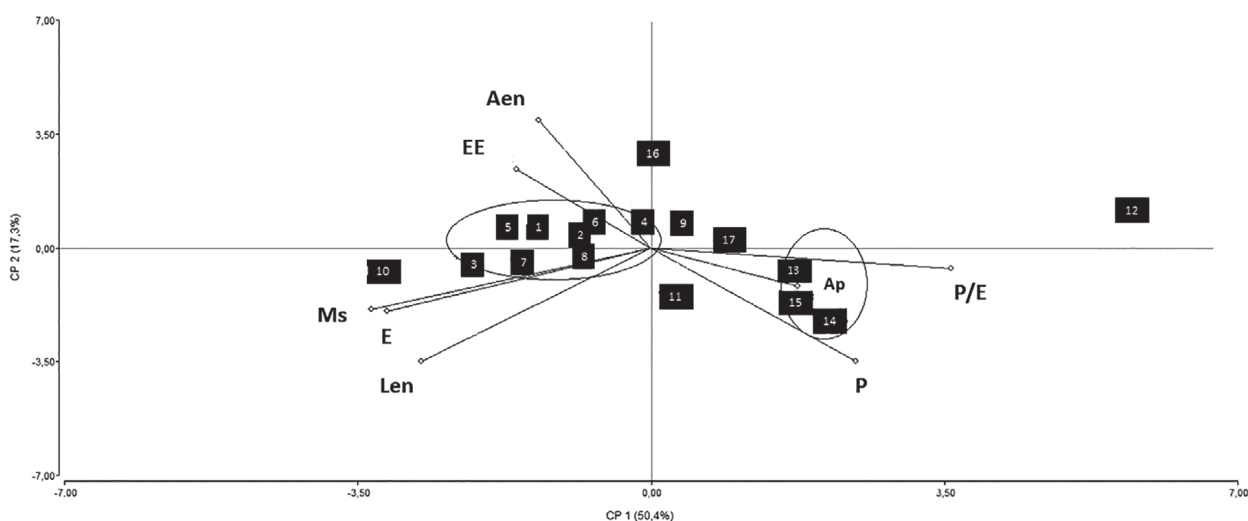


Fig. 8. Gráfico bidimensional de las componentes del ACP de las especies estudiadas y sus características palinológicas. P: longitud del eje polar, E: diámetro ecuatorial, Ap: longitud del apocolpio, Ms: longitud del mesocolpio, EE: espesor de la exina, Len: largo de la endoapertura, Aen: ancho de la endoapertura, P/E: relación longitud del eje polar y diámetro ecuatorial. 1: *C. aconquiae*, 2: *C. boliviensis*, 3: *C. canarinoides*, 4: *C. cernua*, 5: *C. chuquitensis*, 6: *C. clavata*, 7: *C. coronata*, 8: *C. dumentorum*, 9: *C. hibiscifolia*, 10: *C. lateritia*, 11: *C. mollis*, 12: *C. nivalis*, 13: *C. pulchella*, 14: *C. rosulata* subsp. *taraxacoides*, 15: *C. sleumerii*, 16: *C. spiegazzinii*, 17: *C. vallegrandensis*.

Fig. 8. Two-dimensional plot of the PCA components of the species studied and their palynological characteristics. P: polar axis length, E: equatorial diameter, Ap: apocolpium length, Ms: mesocolpium length, EE: exine thickness, Len: endoaperture length, Aen: endoaperture width, P/E: relationship length of the polar axis and equatorial diameter. 1: *C. aconquiae*, 2: *C. boliviensis*, 3: *C. canarinoides*, 4: *C. cernua*, 5: *C. chuquitensis*, 6: *C. clavata*, 7: *C. coronata*, 8: *C. dumentorum*, 9: *C. hibiscifolia*, 10: *C. lateritia*, 11: *C. mollis*, 12: *C. nivalis*, 13: *C. pulchella*, 14: *C. rosulata* subsp. *taraxacoides*, 15: *C. sleumerii*, 16: *C. spiegazzinii*, 17: *C. vallegrandensis*.

- 9,6(5,9)4 μm . Las especies que no se encuentran asociadas son: *Caiophora nivalis*, *C. lateritia*, *C. mollis*, *C. pulchella*, *C. spiegazzinii* y *C. vallegrandensis*. En el extremo derecho, *C. nivalis* se caracteriza por sus granos con menor E y, a diferencia de las restantes especies analizadas, el Ap (8,2-7,7-7,2 μm) es mayor que el Mp (5,5-4,9-3,6 μm). Hacia el extremo izquierdo se encuentra *C. lateritia* con P/E cercano a 1 y cuyos granos varían de prolato-esferoidal a oblato-esferoidal en material no acetolizado. En *C. mollis*, *C. pulchella* y *C. vallegrandensis* la relación P/E es intermedia entre los dos grupos mencionados anteriormente ($P/E = 1,2-1,5$). *Caiophora spiegazzinii* presenta el valor más alto en cuanto a Aen (lalongada).

DISCUSIÓN Y CONCLUSIONES

Se describen por primera vez los granos de polen en material acetolizado y no acetolizado de 16 especies del género *Caiophora* (Loasaceae) que crecen en Argentina (Slanis *et al.* 2016, 2021; Slanis y Bulacio, 2022) y se complementan los estudios realizados por otros autores para *C. coronata* (Markgraf y D'Antoni, 1978; Wingenroth y Heusser, 1984).

Dentro del género *Caiophora*, solamente *C. coronata* fue descripta previamente desde el punto de vista polínico por Markgraf y D'Antoni (1978), con cuyas observaciones coincidimos con relación al tamaño de los granos ($23 \times 31 \mu\text{m}$ promedio) y forma del poro (circular en material acetolizado). Mientras estos autores describen granos prolatos, reticulados nuestros análisis revelaron granos subprolatos a prolatos, retículo con muros entrelazados en diferentes niveles. Wingenroth y Heusser (1984), describen para esta misma especie granos de menor tamaño ($26,9 \times 15,9 \mu\text{m}$) con relación a lo observado en este trabajo ($32 \times 23 \mu\text{m}$), con poro circular a lalongado y exina estriada, detalles con los que discrepamos. Erdtman (1952) solo se refiere a la familia Loasaceae con unos valores de los parámetros similares a los de *C. coronata*.

Noguera-Savelli et al. (2009) señalan que la ornamentación de la exina es un carácter de relevancia taxonómica que permite diferenciar las 3 subfamilias a las que pertenecen las 9 especies de Loasaceae estudiadas para Venezuela. Este concepto también es mencionado por Florence (1985), Hufford (1989), Poston y Nowicke (1993) y Weigend (2003) en varios géneros y subfamilias de Loasaceae. En este estudio las observaciones con MEB permitieron diferenciar las entidades analizadas en base a características del retículo y margen del colpo.

En las especies analizadas los granos acetolizados presentan mayor tamaño que los no acetolizados a excepción de *C. aconquiae*, *C. lateritia* y *C. vallegrandensis*.

No se observa gran variabilidad en la morfología polínica de las especies argentinas de *Caiophora* a nivel de MO.

Gran parte de las especies estudiadas son tricolporadas, los granos acetolizados y no acetolizados, prolatos a prolato-esferoidales, de tamaño mediano a pequeño; nexina con engrosamientos de la nexina a lo largo de la ectoapertura y alcanzando su máximo grosor a nivel de las endoaperturas (costillas).

En base a la relación entre el ancho del muro y el diámetro de los lúmenes los retículos son angostimurados en: *C. aconquiae*, *C. boliviiana*, *C. chuquitensis*, *C. clavata*, *C. dumetorum*, *C. hibiscifolia*, *C. lateritia*, *C. mollis*, *C. nivalis*, *C. pulchella*, *C. rosulata* subsp. *taraxacoides*, *C. sleumerii*, *C. spiegazinii* y *C. vallegrandensis*. Por su parte, *C. canarinoides*, *C. cernua* y *C. coronata* presentan retículos latimurados.

La aplicación de herramientas estadísticas en el análisis de datos permite inferir que las variables analizadas pueden utilizarse para diferenciar dos grupos en base a: P, E, forma del grano, EE, Ap y Aen. El más grande conformado por *C. clavata*, *C. aconquiae*, *C. chuquitensis*, *C. boliviiana*, *C. dumetorum*, *C. coronata*, *C. canarinoides* y *C. cernua* y el segundo por: *Caiophora nivalis*, *C. lateritia*, *C. mollis*, *C. pulchella*, *C. spiegazinii* y *C. vallegrandensis*. Observamos que existe un solapamiento en cuanto a los valores de los parámetros considerados. Por otro lado, las especies: *C. nivalis*, *C. lateritia*, *C. mollis* y *C. spiegazinii*, no se asociaron con ninguno de los grupos.

El análisis palinológico de las especies del género *Caiophora* presentes en Argentina aporta información al tratamiento taxonómico realizado por Slanis et al. (2016, 2021).

AGRADECIMIENTOS

A la Lic. Lelia M. Bordón, de la Sección Iconografía de la F.M.L., por la diagramación de las láminas.

CONFLICTOS DE INTERÉS

Ninguno de los autores presenta conflicto de intereses.

BIBLIOGRAFÍA

- Avetisian, E. M. (1975). Palynomorphology of the family Loasaceae. En: *Palynology*, pp. 5-18. Armenian Academy of Science, Yerevan (in Russian).
- Di Rienzo, J. A., Casanoves, F., Balzarini, M. G., Gonzalez, L., Tablada, M. y Roldedo, C. W. (2016). Infostat. (Versión 2020I) [Software]. Recuperado de Grupo InfoStat, FCA, Universidad Nacional de Córdoba, Argentina: <http://www.infostat.com.ar>
- Erdtman, G. (1952). Pollen morphology and plant taxonomy. Angiosperms (An introduction to Palynology I). Almqvist & Wiksell, Stockholm, pp.245-246.
- Erdtman, G. (1960). The acetolysis method: revised description. *Svensk Botanisk Tidskrift* 54: 561- 564.
- Florence, J. (1985). Sertum polynesium I. *Plakothira* Florence (Loasaceae), genre nouveau des îles Marquises. *Bull. Mus. Natn. Hist. Nat.*, Ser. 4, Sec. B, *Adansonia* 7: 239-245.
- García de Albano, M. E. y Slanis, A. C. (2006). Estudio palinológico de las especies argentinas de *Mentzelia* (Loasaceae). *Revista del Museo Argentino de Ciencias Naturales, nueva serie* 8 (2): 165-170.
- Hufford, L. (1989). The structure and potential loasaceous affinities of *Schimocarpus*. *Nordic Journal of Botany* 9: 217-227.
- Markgraf, V. y D'Antoni, H. L. (1978). Pollen Flora of Argentina. Modern spore and pollen types of Pteridophyta, Gymnospermae and Angiospermae. University of Arizona Press, Tucson.
- Noguera-Savelli, E., Ruiz, T. y Jauregui, D. (2009). Morfología del polen de las especies de Loasaceae Juss. presentes en Venezuela. *Ernstia* 19 (1): 67-79.
- Poston, M. y Nowicke, J. (1990). Pollen ultrastructure of Loasoideae (Loasaceae). *American Journal of Botany* 77: 151 (Abstract).
- Poston, M. y Nowicke, J. (1993). Pollen morphology, trichome types, and relationships of the Gronovioideae (Loasaceae). *American Journal of Botany* 80: 689-704.
- Punt, W., Hoen, P. P., Blackmore, S., Nilsson, S. y Le Thomas, A. (2007). Glossary of pollen and spore terminology. *Review of Paleobotany and Palinology* 143: 1-81.
- Quiroz-García, D., Palacios-Chávez, R. y Arreguin-Sánchez, M. (1994). Flora polínica de Chamela, Jalisco (Familias Amaranthaceae, Combretaceae, Loasaceae, Martyniaceae, Papaveraceae, Tiliaceae y Violaceae). *Acta Botánica Mexicana* 29: 61-81.

- Slanis, A. C., Perea, M. C. y Grau, A. (2016). Revisión taxonómica del género *Caiophora* (Loasaceae) para Argentina: *C. sleumerii* una nueva especie. *Darwiniana, nueva serie* 4 (2): 138-191. <https://doi.org/10.14522/darwiniana.2016.42.685>
- Slanis, A. C., Perea, M. C. y Grau, A. (2021). *Caiophora*, en F. O. Zuloaga, M. J. Belgrano y C. A. Zanotti (eds.), Flora Vascular de la República Argentina 19 (2): 273-287. Buenos Aires: Estudio Sigma S.R.L.
- Slanis, A. C. y Bulacio, E. (2022). *Caiophora vallegrandensis* (Loasaceae, Loasoideae, Loaseae): una nueva especie de Argentina. *Darwiniana, nueva serie* 10 (1): 271-278.
- Thiers, B. (2023). Index Herbariorum: a global directory of public herbaria and associated staff. New York Botanical Garden's Virtual. <https://sweetgum.nybg.org/science/ih/>
- Weigend, M. (2003). Loasaceae. In: The Families and Genera of Vascular Plants. VI. Flowering Plants–Dicotyledons, Celastrales, Oxalidales, Rosales, Cornales, Ericales. (Kubitzki, K., ed.) Springer. Berlin.
- Wingenroth, M. y Heusser, C. (1984). Polen en la Alta Cordillera, Quebrada Benjamín Matienzo, Mendoza. Edit. IANIGLA, CRICYT, pp.132-133, Mendoza.
- Wodehouse, R. P. (1935). Pollen grains. Mc Graw-Hill Book Company, Inc. New York and London.